

港湾内の結氷について (2)

○ 東海大	正会員	泉	冽
北大工	正会員	佐伯	浩
北大工	正会員	尾崎	晃

§1. 諸論

北海道東北部に位置する根室市は根室港と花咲港の二つの港を有している。根室港は放別、網走、ウトロの各港と同じく港がオホーツク海に面しており、冬期間には港内が完全に凍結し、港の使用は不可能となる。これに対して根室港から南へ約60KM離れて太平洋に面している花咲港は港内的一部分が結氷して港内が完全に凍結してしまうことはなく不凍港として港内の機能を果してきた。しかし近年になって急速に進められて来た港内の拡張工事に伴い港内での氷の発生が著しくなり、船舶の航行に支障をきたす日も出るようになつた。このため我々はこの氷の発生を防止すべく対策を考えて来た。54年から始めた調査はまず現地観測から行つた。図-1、図-2はそれぞれ花咲港の位置図と港内図を示し、又図-2には観測 Station を記してある。現在までの調査の内容はまず(i) 過去と現在において気温、水温、等に大きな変化が表われてはいるか。(ii) 防波堤の延長、港内拡張等によって港内水の流向、流速等の港内流況変化がないか。(iii) 海水の塩素量、PH、電気導度、海水の淡水化等の海水の物理的性質に変化が起つてないか。(iv) 花咲港のような凍結限界域においては、日射による熱供給が、水温変化に影響を与えるのではないか、等の項目で(i)については、東海区水産研究所の報告によるとデーターと我々の現地観測からその変化がないことがわかった。(ii)については、現地観測と室内模型実験の結果から、港内と外海との海水の交流は少くなり、したがって(iii)の海水の物理的性質も変り、海水の結氷に最も大きな影響を与える塩素量も外海水より少くなり、このため港内での結氷温度が高くなることがわかつた。(iv)については、海水面への熱供給について、輻射量と海面工の気象条件との大きさの関係をつかんだが、その後の観測結果を後述する。

§2. 結氷の理論

浅海域の海水の結氷に及ぼす因子を挙げるならば、気温、水温、風速、輻射量等のほか多數の因子が考えられる。しかし海面における、熱の出入を考えると、その機構は、大きく分けて次の3つを考える事ができる。

1) 気温と海水温の温度差によっておこる Air-Sea 间的熱伝達による熱の出入。

2) 海水の蒸発潜による熱の出入。

3) 日光及び天空からと、海面からの熱輻射に伴う熱の出入。
しかし、これらの中の熱の出入以外に、降雪、

降雨による、地からの熱源と、海の場合、当然、海水の流动に伴う、地からの热の移流が考えられる。また海底面における熱の出入を考える事ができる。

Q_A : 海面工の気温 ($^{\circ}\text{C}$) Q_S : 海水温 ($^{\circ}\text{C}$) A : 対称面積 (cm^2)

K : Air-Sea 间的熱の伝達係数 ($\text{cal}/\text{day}/^{\circ}\text{C}/\text{cm}^2$) Q_K : Air-Sea 间的熱伝達に伴う熱量 ($\text{cal}/\text{day}/\text{cm}^2$)

Q_{RS} : 日光及び天空からの短波長放射による有効熱量 ($\text{cal}/\text{day}/\text{cm}^2$)

Q_{RE} : 海面から天空へ放射される熱量 ($\text{cal}/\text{day}/\text{cm}^2$) Q_{RN} : 热放、輻射に伴う海水に入る、Net の熱量

Q_E : 水面からの蒸発、あるいは凝結によって出入する熱量 ($\text{cal}/\text{day}/\text{cm}^2$)

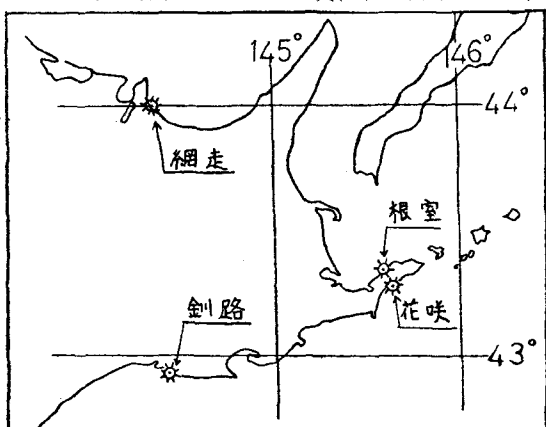


図-1

Q_S 降雪、降雨に伴って出入する熱量 (cal/day/cm^2)

Q_T 代から熱が移流していく熱量 (cal/day/cm^2)

ある地点での熱の出入量は概要には次式で表される。

$$\Delta Q = Q_K + Q_{RN} + Q_E + Q_S + Q_T \quad \dots (1)$$

ここで

$$Q_K = K(\theta_A - \theta_S) \quad \dots (2) \quad Q_{RN} = Q_{RS} \quad Q_{RE} \quad \dots (3)$$

Q_S については、降雨の場合と降雪の場合で熱の交換機構は異なるが、ここでは一般的に Q_S としておく。(1)式において

Q_S は、雨量と雨の温度あるいは雪量を測定しておけば、あ

る程度の予測がつく。 Q_T は、対象とする海域の流れが非常に小、エーカー無視する事ができる。 Q_{RS} については、太陽からの距離、太陽の高度、空気の混濁の程度、太陽日率から発する輻射量の波長等によって値が変化する事になる。この理論輻射量の計算は Hann や Angot によりなされており、東洋に水面に達する熱量は、雲のあるなし、雲の厚さ等によって大きく変化する。よって直接 RADIOMETER を測定せねばならない。これに対して Q_{RE} は、海水が完全黒体として輻射を受けるものと考えると、ステファンボルツマンの法則から次式により求められる事ができる。 $Q'_{RE} = 0.827 \cdot \sigma \cdot (273 + \theta_S)^4 \quad \dots (5)$

$$\sigma = 8.068 \times 10^{-11} \text{ cal/cm}^2/\text{min} \quad \dots (4) \quad Q_{RE} \text{ は } 1 \text{ 分間当たりの水面からの輻射量である。}$$

§3. 実測結果

(i) 港内の流れ

港内の流れを明らかにするために、現地海岸でフロート観測を行こうと共に、水平縮尺 $1/100$ 、鉛直縮尺 $1/100$ の風模擬実験を行わない、模型の水压を蒸モルタル仕上げする事により、現地でのフロート観測の結果と一致させた事ができた。その結果、潮汐に対する港内の流速の最大は 15 cm/sec 程度となり、確めて少ない事が明らかとなつた。また以下の水温分布、PH分布から推定すると、(1)式における、熱の移流項 Q_T は無視する事ができる。

(ii) 港内海水の水質 - PH -

港内と外海水との交流状況と港内への淡水の流入状況を調べるために、港内外のPHを調べた。その結果を図-3、図-4に示す。花咲港においては、夏季から秋季にかけて、通過量が多いたり、周囲の工場废水はこの時期が一番多く、冬季は、わずかの都合下水に限られている。図-3

この図-3の港奥部でのPH値が低いのは、明らかに、淡水の流入が原因である。淡水流入の多い10月の場合、港外と港奥部のPH差は大きい。1月になると、淡水の流入が極めて少ないのでやはり港外海水、港奥の海水のPHの差はある。これは、この時期の淡水の流入がほとんどない事から、外海との交流が少ないので、夏季から秋季に流入した淡水の影響が、冬季まで影響を示している。このPHの季節的な変化から港内においては海水交流が悪く、(1)式におけると仮定する事は可能である。また港外のPH値が10月と1月で異なっているがこれは、潮流の影響によるものである。

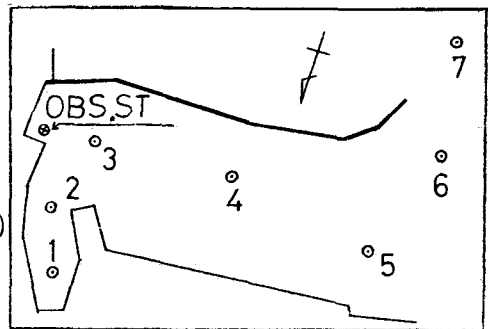


図-2

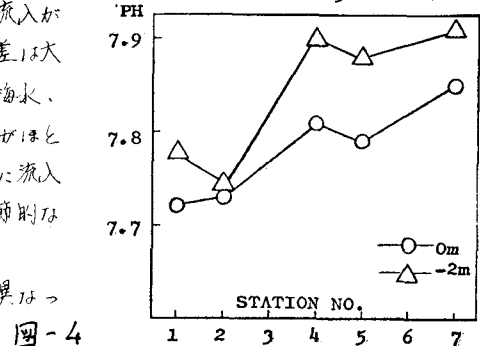
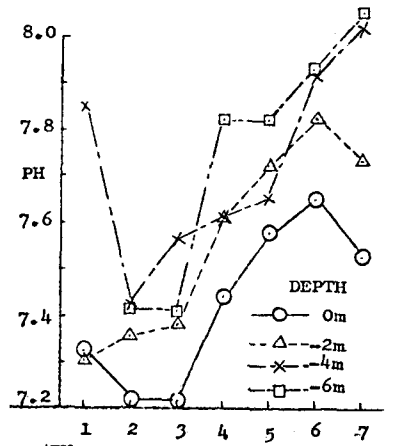


図-4

(iii) 港内の海水の性質—電導度

港内の海水の物理的性質を明らかにするために、電導度の測定例が図-5、図-6に示す。電導度を測定する事により、塩分量、あるいは塩分量を明らかにする事ができるため、その地点の電導度が得られれば、結氷温度を求める事が可能であり、また淡水の流入状況及び海水交流を明らかに出来る。この図-1から図-6より、前のP-Hの場合と同じく、港奥部ほど電導度が少しく、塩分量が少ない事を示している。またノルムの方が電導度が少しくなっているが、これがP-Hの場合と同じく、海流の影響によるもので、一年間の外海水の塩分量の変化が、東海区水研によって網沙布岬で記されているが、夏季から秋季にかけて塩分量が多く、冬季には塩分量が少しくなっている。この事は、港内の結氷に対しては、結氷温度が上昇するため、非常に困る事である。以上のP-Hと電導度の季節的な変化と港内の場所による変化から以下の事が明らかとなった。(1)港内にばかりの淡水が流入している。(2)港外海水と港内の海水の交流は非常にゆるやかである。(3)港外の海水の物理的性質は季節によつて大きく変化しているが、これは海流の影響と想われる。(4)港奥部、つまりSt.1, 2, 3の領域は淡水の流入が多く、塩分量が他の領域に較べて少くため、花咲港では一番結氷しやすい場所である事が予測される。(5) (1)式における移流項 Q_T は日の単位であれば $Q_T = 0$ としてよい。

図-5

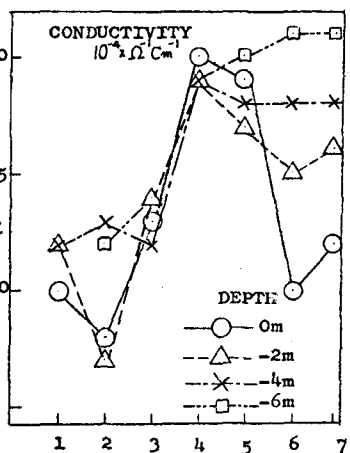
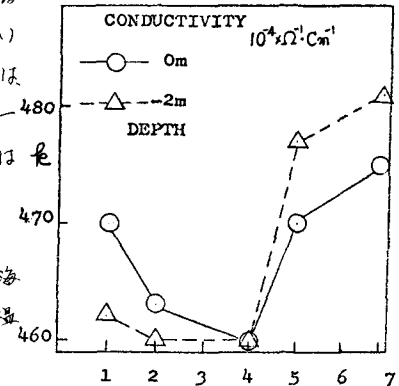


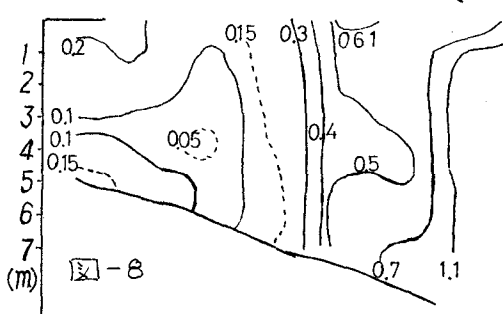
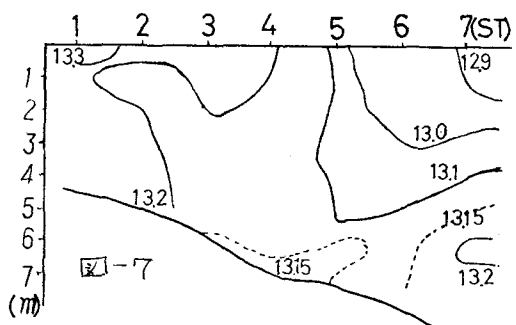
図-6



(iv) 港内の海水温について

東カラフト海流の影響を受ける根室港の海水温は、1月にはこの近辺の海水の結氷点である。 -1.7°C であるのに對し、1~2月の花咲港近辺の水温は $-1.0\sim-0.5^{\circ}\text{C}$ であり、結氷点に近い状態であるといえる。

図-7、図-8、(1)は各 Station を横断した水温分布を10月と1月にかけて図示したが、一般に夏季は港奥に行くにつれて水温は高くなるのに對し、冬季は逆に港外の方が水温が高くなっている。又、夏季は表面の水温が高くひらくため成層になり易く、冬季は表面からの冷却のため、対流により、鉛直方向の熱交換が盛んになり、鉛直方向の温度分布はほぼ一様である。これらに図-8、の温度分布から明らかなように、St.4を境に港奥と港口との温度差が著しい。この温度分布は2月頃まで続いた。港内の結氷範囲に大きな影響を与える。図-9、に2月初旬の結氷範囲を示したが、花咲港においては、まずA領域から結氷が始まり、次に、B、Cと広がって行く。これらがまとまると冬はこの地帯越する北西の風によって港内の東南の隅に寄せられる。過去の港内の結氷状況をみて、一番広範囲に達した領域はSt.4、5までであることと、図-8、の温度分布から明らかにわかるように、外海水との交流よりSt.5より港奥へはあまり影響がないといえる。この図-7、図-8、の



水温分佈は、PH、鹽度とも非常に似かよった傾向を示す。これら事が明らかとなつた。港内と港外の結氷度を各月別に表にしたのが表-1である。これから明らかなふうに塩分量から求めた結氷温度は、2月には0.02°C違う事になる。

§4. 海水温の変動について

§3 の測定結果より、佐渡港における結氷時期の海水の結氷水温は、塩分量により求め事がで玉だ。また、海水温変動は(1)式で表わされが、移流項 $Q_T = 0$ である事が明らかになつたので(1)式は次の如くなる。

$$\Delta Q = Q_K + Q_{RN} + Q_E + Q_S \quad \text{--- (6)}$$

ここで Q_S は、降雪、降雨による熱の出入に関する量で、雪量、降雨量が明らかにすれば簡単に求められる事がで玉だ。我々の実測では、このような場合は除いたので、 $Q_S = 0$ として(6)式により単純とひつて(6)式の如く表わされる。

$$\Delta Q = Q_K + Q_{RN} + Q_E \quad \text{--- (7)}$$

$Q_{RN} = Q_{RS} - Q_{RE}$ であり、 Q_{RE} は(4)式より求められが、実際に測定してみると、必ずしも(4)式を満足していないため、我々は HUNK 表差輻射計を用いる事により、NET の輻射量を実際に測定を行なつた。このNET の輻射量は、緯度と季節と天候によって変わらる事になる。我々は2月から4月にかけて測定を行なつた。港内の一部に結氷があつたり、また3月には流水が港内に入ってきたので充分なデータがとれなかつたが測定結果の一部を図-10、図-11、に示す。 Q_{RN} はNET の輻射量である。図-10は2月の花咲と小樽のデータで、この時期は天候に関係なく Q_{RN} はマイナスの値をとる。晴れの時で $Q_{RN} = -110 \text{ cal/cm}^2/\text{day}$ 番りで $Q_{RN} = -55 \text{ cal/cm}^2/\text{day}$ となる。これに対して3月になると、図-11、より晴れの日は $Q_{RN} = 120 \sim 180 \text{ cal/cm}^2/\text{day}$ 番りで $Q_{RN} = 80 \sim 100 \text{ cal/cm}^2/\text{day}$ となり、 Q_{RN} はプラスとなる。以上のように、

Q_{RN} は海水温の変動に大きな比重を占めている事が判る。この Q_{RN} の季節的な変動を明らかにする事は今後の課題であろう。この Q_{RN} が測定で求まる事にならざる事は直接求める事は困難である。 Q_E については、直面蒸発計を用いて測定する事は可能であるが、これらから測定された蒸発量は、実際の蒸発量との差が大きい事が数々く発表されている。これに対応して、Edinger やある Dingleman 等は、この(7)式の Q_K と Q_E を分けて考えながら、平衡水温あるいは水面熱損失係数と伝うものを用いて表わした。

$$Q_K + Q_E = Q_{KE} = - \{ Q_0 + K'(\theta_S - \theta_A) \} \quad \text{--- (8)}$$

この考え方を用いると(7)式 次式で表わされる。

図-9

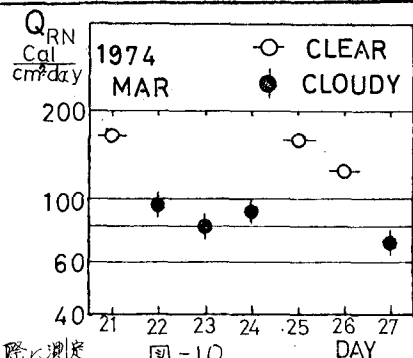
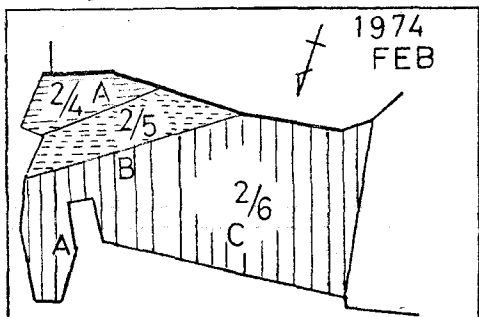
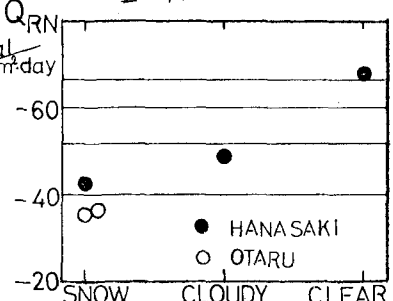


表-1 (上から 10月, 1月, 2月)
の値

図-11



$$\begin{aligned}\Delta Q &= Q_{KE} + Q_{RN} \\ &= Q_{RN} - \{Q_0 + K'(\theta_S - \theta_A)\} \\ &= Q_{RN} - K'(\theta_S - \theta_A) - Q_0\end{aligned}\quad \text{---(9)}$$

ここで Q_0 及び K' は、風速と天気によって決まる。ここで我々は、 Q_0 を求めにはデータが少ないので、一応式の変形である式を用いた。

$$\Delta Q = Q_{RN} + K(\theta_A - \theta_S) \quad \text{---(10)}$$

水温分布と気温と Q_{RN} を測定する事により K を求める事になる。この K の値を同一に示す。この時の風速は、ほぼ零であった。これで一応 Q_{RN} と K の値が求まったが、 Q_{RN} については通常測定が必要であり、 K については、風速の影響を考慮する必要があろう。

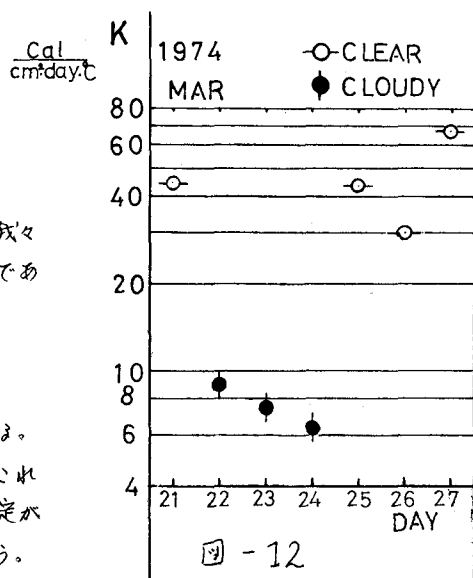


図-12

1. 港内の潮流観測及び実験の結果より港内水と港外水の海水交流の事が明らかとなつた。港内の潮流による最大流速は 1.5 cm/sec であった。
2. 港内海水の PH 及び電導度の測定から、海水交流が良くない事が明らかとなり、港内への淡水の流入により、塩分量が低下し港奥部（船舶の利用頻度が最も多くの領域）では港の他の領域に較べて結氷温度が高く、結氷し易い。
3. 水温分布より、結氷期には、海水の鉛直方向の伝導が顕著なため、港外水の流入によく、港内水の温度上昇はほとんどの領域くらいの範囲である。
4. 海面での熱交換の重要な要素である、輻射量と熱損失係数を求めたが、それによると結氷期では輻射量と他の要因による熱損失量は、ほぼ同量である事が明らかとなつた。
5. 結氷期の花咲港の海水温度は -1.5°C 前後で、この時期の塩分量から求めた結氷温度が -1.5°C となり、花咲港が、結氷するかしないかの境界にあらざる事が明らかとなつた。以上の事から結氷を防止する対策としては、まず港内海水を水りにくくするためにには、塩分量が多く方が良いから、まず港内に流入している都市下水、工場廃水等は港内に流出させないようにするべきである。さらに、港内水に較べて暖かい港外の海水との交流を良くするために、港奥部に近い所に、防波堤の一部を取り除き、港奥まで、港外水との交流が行なわれるようすべきである。また、これによって、塩分量の多い外海水が入り易くなる。花咲港の結氷の始まり地点が、この港奥部である事から、ここに結氷を押さえ難い事にて全体の結氷がなくなるから遅れる事になると想われる。

あとがき、本研究の調査を行なうにあたり御協力戴いた、開港局建設課の方々並びに、釧路開港建設部積荷港建設事業所の方々に深甚なる謝意を表すとともに、調査に参加された、浜口寛、佐久間忍、小室裕一の諸氏に紙面をかりて、謝意を表す次第であります。

参考文献、1. Dingman, S.L : Equilibrium Temperatures of Water Surfaces as Related to Air Temperature and Solar Radiation, Vol 8, No.1, Water Resources Research, Feb 1972

2. 尾崎、佐伯、泉 港湾内の結氷について (1), (2) 年次学術講演会論文、土木学会、S 48, 49年。

3. 福富孝治他 海水の研究 (第1報～第18報) 低温科学研究所業績

4. H. H. Zeeboff 北冰洋の氷